

تأثير عمق الحراثة وطول اللوح على تقدم وانحسار الماء في الري الشريطي*

داخل راضي ندويوي
عبد الكريم فاضل المعروف
جامعة البصرة/ كلية الزراعة/ قسم علوم التربة والمياه

المستخلص

أجريت تجربة حقلية في تربة محطة البحوث والتجارب الزراعية التابعة لكلية الزراعة/ جامعة البصرة في منطقة الهارثة لدراسة تأثير عمق الحراثة لمستويات حراثة عميقة (45سم) ومتوسطة (30 سم) وإضافة إلى الحراثة السطحية (5سم) وتداخلها مع طول اللوح الشريطي بأطوال 35م و55م و75م تحت ظروف الزراعة بمحصول الشعير وبدون زراعة في تقدم جبهة ماء الري على سطح التربة وانحساره، وإمكانية استخدام بعض المعادلات الوضعية التي تصف هذا التقدم للترب الطينية الثقيلة في جنوب العراق. بينت النتائج عموماً بأن زيادة عمق الحراثة أدت إلى تقليل معدل سرعة تقدم جبهة الماء على سطح التربة، وازداد معدل سرعة هذا التقدم في التربة المزروعة مقارنة مع التربة غير المزروعة. كما توضح النتائج إمكانية تمثيل بيانات مسافة تقدم جبهة الماء على سطح التربة مع الزمن حسب معادلتَي Fok and Bishop (1965) و Anjaneyulu et al (1973) المعدلة بعد إيجاد قيمة العامل (m) باستخدام برنامج الاتحدار اللاخطي وبدلالة قيمة (RMSX) Residual Mean Square of Distance. كانت قيمة RMSX منخفضة جداً في كلتا المعادلتين مقارنة باستخدام معادلة Anjaneyulu et al (1973) الفعلية وكانت هاتان المعادلتان أكثر تطابقاً مع البيانات التجريبية بقلّة كل من عمق الحراثة وطول اللوح الشريطي تحت ظروف التربة المزروعة للحراثة وطول اللوح الشريطي وعمق التربة وتأثير عالي المعنوية في تغيير قيم المحتوى الرطوبي الوزني بعد الري مباشرة في كلتا التربتين المزروعة وغير المزروعة. أن زيادة عمق الحراثة أدت إلى زيادة سعة التربة للاحتفاظ بالماء وحسب عمق التربة من خلال تحسن خواصها الفيزيائية، في حين أثر طول اللوح الشريطي على كمية الماء الكلية الواصلة للحقل وبالتالي حصول التربة على قدر أكبر من الماء.

Effect of Tillage Depth and Border Length on Advance and Recession of Water in Border Irrigation System*

D. R. Nedawi

A. F. AL- Maarroof

Dept. Soil and Water Sciences, College of Agric, Basrah Univ.
.Basrah – Iraq

ABSTRACT

A field experiment was conducted at al-Hartha Agricultural Research Station, College of Agriculture, Basrah University. The study was carried out to evaluate the effect of plowing depths {45 cm, 30 cm and surface plowing (5cm)} and border length of 35m, 55m and 75m as well as their interaction on cultivated barley crop and uncultivated soils. The advance and recession of irrigation water were measured. Two empirical equations were used to describe the water advances on the soil surface.

Results showed that water advancing on soil surface was decreased with increasing plowing depth. The cultivated soil treatments showed higher values of advance than those of uncultivated soil treatments. The results indicated that the Fok and Bishop (1965) and Anjaneyulu et al (1973) equations can be used to describe the obtained data. With respect to later equation, it can work better after determining the m

* جزء من رسالة الماجستير للباحث الثاني

* Part of M. Sc. thesis for the second author.

parameter. Both equations showed good description for the water advances as a function of time by fitting the non-linear regression program with low values of residual mean square of distance (RMSX).

The goodness of fit for each equation was decreased with increasing the plowing depth and border length at uncultivated soil. Generally, all treatments of soil moisture contents were significantly affected after irrigation.

المقدمة

و(1990) Shukla و(1995) Anyoji و(1996) Slatni بأن الزمن اللازم لري الألواح الشريطية القصيرة اقل مما في الألواح الشريطية الطويلة وهذا يؤدي بدور إلى تقليل ضائعات الجريان السطحي والتسرب العميق، خاصة في بداية اللوح الشريطي وبالتالي ارتفاع كفاءة الإضافة ومعامل التجانس. من جانب آخر فقد بين Muchow and Wood (1981) و(1990) Maheshwari and Patto بأن تأثير العمليات الزراعية يأتي من خلال إعاقة النبات لتقدم الماء والتغاير الأفقي في رطوبة التربة قبل الري، إضافة إلى رص التربة وانخفاض معدل غيض الماء فيها خصوصاً في الطبقات السطحية وبالتالي زيادة ضائعات السطح السطحي.

لقد استتبعت عدة صيغ رياضية للتنبؤ بتقدم الماء على سطح التربة بالاعتماد على دوال الغيض وثوابتها (Fok and Bishop, 1965 و(1980) Katyal and Kijne). كما أن دوال الغيض يمكن أن تحسب من معرفة معدل تقدم الماء على سطح التربة في الألواح الشريطية (Christansen et al, 1966 و(1960) Finkel and Nir)، إذ تتألف حالة التقدم لجريان الماء من جزئين أفقي وعمودي فالجريان الأفقي يحصل عند بدء دخول الماء إلى اللوح الشريطي وينتهي بوصوله إلى نهايته، بينما يحصل الجريان العمودي عندما ترطب التربة (المنطقة الجذرية) على امتداد مسافة التقدم (Sterlkoff, 1977).

أما حالة الانحسار فأنها تتألف من جزئين أيضاً كما أشار إليها (Chen, 1965)

تلعب عملية تقدم الماء على سطح التربة في نظام الري الشريطي دوراً هاماً في تجانس توزيع الماء على امتداد الجريان (Schwab, 1966). وأن طريقة الري هذه تحتاج إلى مهارة في إدارة عمليات الري أكثر مما في طرق الري السحي الأخرى، وذلك لتداخل أكبر عدد من المتغيرات الهيدروليكية المؤثرة في جريان الماء في هذا النظام، حيث أن جريانه يشابه الجريان في القنوات المفتوحة، فهو يتصف بأنه غير ثابت وغير منتظم على سطح مسامي (Strelkoff, 1977). يكون تقدم الماء على سطح التربة بمعدل متناقص مع الزمن باتجاه نهاية اللوح الشريطي بفعل تأثير غيض الماء (Slatni, 1996). أن تقويم هذا النظام يعتمد على معرفة حالة تقدم الماء على سطح التربة وانحساره بعد قطع الجريان والذي يعتمد على زمن بقاء الماء على سطح التربة (فترة الغمر) (Opportunity time)، إذ يستحصل عليه من منحنيات تقدم وانحسار الماء، إضافة إلى اعتماده على دالة غيض الماء في التربة (الطيف والحديثي، 1987).

للحراثة وطول اللوح الشريطي والزراعة تأثير في تقدم وانحسار الماء على سطح التربة، فعملية الحراثة تؤدي إلى تغيير بعض الخصائص الفيزيائية للتربة ذات العلاقة بتأثير ضائعات الجريان السطحي خارج حدود اللوح الشريطي نتيجة لزيادة معدل غيض الماء في التربة، فضلاً عن إعاقة تقدم الماء باتجاه نهايته السفلى، وتقليل ضائعات التخلل العميق بزيادة قابليتها لمسك الماء ضمن المنطقة الجذرية (Stamm, 1967).

أما على صعيد تأثير طول اللوح الشريطي فقد وجد (Schwab, 1966)

$x =$ مسافة التقدم (متر)

$s =$ الانحدار (متر/متر)

$q =$ التصريف لوحدة العرض (لتر/ثانية/متر)

$g =$ التعجيل الأرضي (م/ثا)

أن معادلة 2 تعتبر الزمن كدالة لمسافة التقدم والتصريف والانحدار الطولي ومعامل الخشونة والتعجيل الأرضي، إضافة إلى اعتمادها على معدل غيض الماء في التربة، وأن قيمة الثابت 2.602×10^{-2} تمثل تأثير خشونة سطح التربة وخاصية غيض الماء.

تهدف هذه الدراسة إلى إمكانية التنبؤ بمسافة تقدم جبهة الماء على سطح التربة في الري الشريطي تحت تأثير عمق الحراثة وطول اللوح الشريطي والزراعة بإيجاد معادلات وضعية تصف هذا التقدم للمعاملات قيد الدراسة.

أولهما الانحسار العمود والذي يعرف بأنه تغيير مستوى الماء عند النهاية العليا للوح الشريطي وثانيهما الانحسار الأفقي ويمثل انحسار الماء في اللوح الشريطي وبدء ظهور سطح التربة. تبين المعادلة التالية المقترحة من قبل (Fok and Bishop 1965) كيفية احتساب مسافة تقدم الماء على سطح التربة: حيث أن:

$$X = at_s^b \dots \dots \dots (1)$$

$x =$ مسافة تقدم الماء (متر)

a و $b =$ ثوابت في معادلة التقدم

$t_s =$ زمن تقدم الماء عند كل محطة (دقيقة)

كما يمكن التنبؤ عن مسافة تقدم جبهة الماء على سطح التربة من المعادلة المقترحة من قبل (Anjaneyulu et al 1973) وهي:

$$t_a = (2.602 \times 10^{-2}) x^{1.0246} Y_{Co}^{-0.746} S^{-0.262} \dots \dots (2)$$

حيث أن:

$t_a =$ زمن التقدم (دقيقة)

المواد وطرق البحث

أجريت هذه الدراسة في محطة البحوث والتجارب الزراعية التابعة لكلية الزراعة/جامعة البصرة في منطقة الهارثة. صنفت التربة ووجد أنها تقع ضمن

Montmorillonitic, Hyperthermic. تم قياس بعض الخصائص الفيزيائية والكيميائية لمقد التربة قيد الدراسة (جدول 1)

Fine clayey, Typic Torrifuvent

جدول (1): بعض الخصائص الفيزيائية والكيميائية لتربة بعض خصائص ماء الري

85-75	65-55	45-35	30-20	20-10	10-0		Depth (cm)
20	30	20	60	50	45	g.kg ⁻¹	Sand
570	500	510	540	580	344		silt
410	470	470	400	370	611		Clay
Silt clay	Silt clay	Silt clay	Silt clay loam	Silt clay loam	clay		texture
					340	g.kg ⁻¹	CaCo3
					9.4		O.M
					7.8		PH
					24	dS.m ⁻¹	EC
							ماء الري
					7.4		pH
					3.6	dS.m ⁻¹	EC
					150	cm	عمق الماء الأرضي

و 5 و 6 وللحراثة السطحية 7 و 8 و 9، في حين كان التعبير عن معاملات التربة المزروعة عند الحراثة العميقة بالاختبارات رقم 10 و 11 و 12 والحراثة المتوسطة 13 و 14 و 15 والحراثة السطحية 16 و 17 و 18 على التوالي. وأجريت هذه الاختبارات باستخدام تصريف ثابت مقداره 8 لتر/ ثانية، حيث تم تثبيت أوتاد خشبية كمحطات مراقبة لقياس زمن تقدم الماء اونحساره على امتداد أطوال الألواح ولمسافات 5 و 10 و 20 و 30 و 45 و 75 مترا إضافة إلى محطة نهاية وصول الماء للسليح السطحي خارج حدود الألواح الشريطية، وتم تسجيل زمن تقدم جبهة الماء عند كل من هذه المحطات. قطع الجريان الداخل عند وصول الماء إلى نهاية كل لوح، كما تم قياس زمن انحسار الماء عند كل محطة بعد القطع (الزمن الذي يختفي عنده 80 - 90% من الماء من سطح التربة). ثم احتسب زمن بقاء الماء على سطح التربة (T_0) عند كل محطة من الفرق بين زمن التقدم والانحسار التجميعين.

تمت دراسة المحتوى الرطوبي الوزني عمودياً بأخذ نماذج تربة باستخدام الأوكرا من الأعماق 0 - 10. و 10 - 20 و 30 - 40 و 60 - 70 سم وأفقياً للمسافات 1 و 17 و 34 مترا من بداية اللوح الشريطي لمعاملة طول اللوح الشريطي 35 مترا إضافة إلى المسافة 54 مترا لمعاملة طول اللوح 55 مترا والمسافة 74 مترا لمعاملة طول اللوح 75 مترا وذلك قبل الري مباشرة وبعد الري بيومين ولكافة الاختبارات.

النتائج والمناقشة

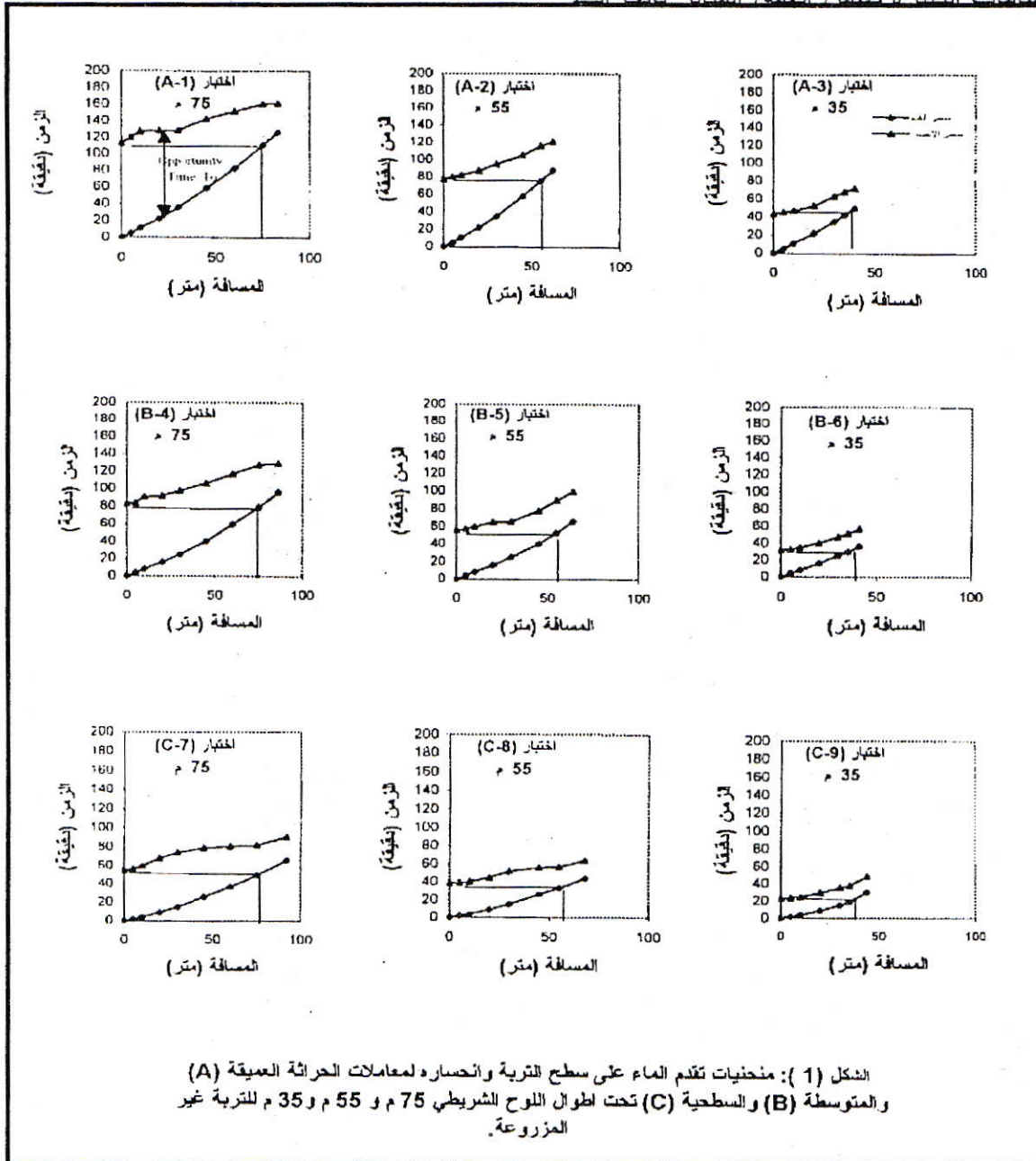
إلى مسافة 30 مترا في معاملة الحراثة السطحية للتربية غير المزروعة 15 دقيقة وارتفع إلى 25 و 35 دقيقة لمعاملي الحراثة المتوسطة والعميقة على التوالي. أما في التربة المزروعة فقد ازداد معدل سرعة تقدم جبهة الماء مقارنة مع التربة غير المزروعة مما أدى

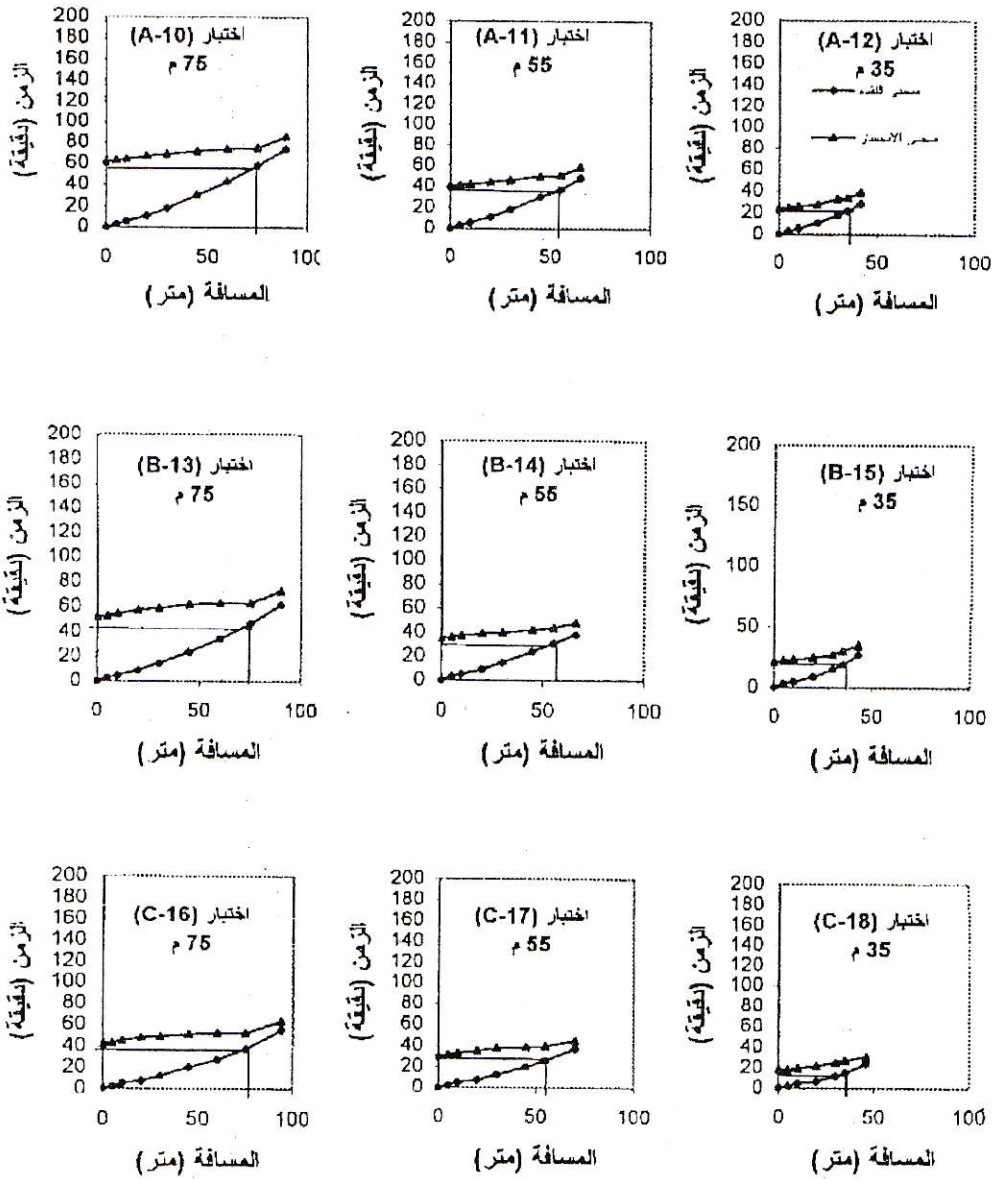
نفذت الدراسة كتجربة عاملية داخل قطع منشقة باستخدام تصميم القطاعات العشوائية الكاملة (Factorial Experiment Within Split Plot) (RCBD) بثلاثة مكررات. قسمت الأرض المخصصة للتجربة إلى قطعتين، إحداهما للزراعة والأخرى بدون زراعة، إذ وضعت معاملات الحراثة في القطع الرئيسية وذلك بتقسيم الحقل إلى ثلاثة أجزاء. تم حراثة الجزء الأول حراثة عميقة باستخدام المحراث تحت التربة (subsoiler) لعمق 45 سم، أما الجزء الثاني فقد حرث حراثة متوسطة بعمق 30 سم باستخدام المحراث المطرحي القلاب، بينما تم حراثة الجزء الثالث حراثة سطحية لعمق 5 سم باستخدام الخراشنة. أما معاملات طول اللوح الشريطي فقد كانت بأطوال 35م و 55م و 75م ويعرض 3م لكل لوح شريطي وبانحدار ثابت مقدار 0.1% لكافة الألواح مع ترك مسافة 1م بين لوح وآخر، وقد تم توزيعها عشوائياً على الوحدات التجريبية داخل كل قطاع موجود ضمن كل من القطع الرئيسية الثلاث. زرعت بذور الشعير في النصف المخصص للزراعة وتم الري عند الحاجة بتصريف ثابت مقدار 8لتر/ ثانية. أجريت الاختبارات الخاصة بدراسة تقدم جبهة ماء الري في الألواح الشريطية لكافة المعاملات غير المزروعة. أما المعاملات المزروعة فقد جرت دراستها في نهاية موسم النمو (قبل الحصاد مباشرة). لقد تم التعبير عن الاختبارات لمعاملات التربة غير المزروعة عند الحراثة العميقة وطول اللوح الشريطي 75م و 55م و 35م بالاختبار رقم 1 و 2 و 3 وللحراثة المتوسطة بالاختبار رقم 4

تبيين النتائج في الشكلين (1) و (2) بأن معاملات الدراسة تباينت في تأثيرها على تقدم جبهة الماء على سطح التربة، إذ يتضح عموماً بأن زيادة عمق الحراثة أدت إلى تقليل معدل سرعة تقدم الماء في كلتا التربة المزروعة، فعلى سبيل المثال كان زمن وصول جبهة التقدم

وبالتالي ارتفاع قابليتها على خزن الماء المضاف (Dongale, 1987) و الدليمي (1988)، في حين كان تصريف ماء الري المضاف ثابتا في كافة المعاملات (8 لتر/ثا). أما تأثير الزراعة فقد أدى إلى تقليل كل من مسامية التربة وقابليتها للخزن ومعدل غيض الماء في التربة، وهذا بدوره انعكس على زيادة معدل سرعة تقدم جبهة ماء الري.

إلى وصول جبهة التقدم بزمان اقل وكان ذلك بواقع 12 و 15 و 18 دقيقة لمعاملات الحراثة المذكورة أعلاه وعلى التوالي. وهكذا فإن تأثر معدل سرعة تقدم جبهة التقدم وزمن وصولها إلى نهاية الألواح الشريطية يسلك بنفس الاتجاه تبعاً لتأثير المعاملات المدروسة. أن تأثير زيادة عمق الحراثة في تقليل معدل سرعة تقدم جبهة الماء يرجع إلى زيادة معدل غيض الماء في التربة نتيجة لإثارتها وتفكيكها وزيادة نسبة المسامات الكبيرة ضمن العمق المتأثر بالحراثة





شكل (2): منحنيات تقدم الماء على سطح التربة وانحصاره لمعاملات الحراثة العميقة (A) والمتوسطة (B) والسطحية (C) تحت اطوال اللوح الشريطي 75 م و 55 م و 35 م للتربة المزروعة

جدول (2): مسافة التقدم الفعلية والمحسوبة (X) وقيم ثوابت دالة التقدم المقدره بتطبيق معادلة (Fok and Bishop (1965) $[X = at_s^b]$

مسافة التقدم X_1		مسافة التقدم X_3		مسافة التقدم X_2		مسافة التقدم X_1		RMSX	b	a	رقم الاختبار
مسافة التقدم المحسوبة (د)	زمن مسافة التقدم الفعلية (د) 75 دقيقة	مسافة التقدم المحسوبة (د)	زمن مسافة التقدم الفعلية (د) 45 دقيقة	مسافة التقدم المحسوبة (د)	زمن مسافة التقدم الفعلية (د) 30 دقيقة	مسافة التقدم المحسوبة (د)	زمن مسافة التقدم الفعلية (د) 5 دقيقة				
75.76	110	43.70	58	28.30	35	5.30	5	2.05	0.86	1.33	1
-	-	45.08	58	28.76	35	5.08	5	1.33	0.89	1.22	2
-	-	-	-	29.45	35	5.01	5	0.35	0.91	1.16	3
75.99	79	41.85	40	27.71	25	5.56	4	5.83	0.88	1.65	4
-	-	44.53	40	28.80	25	5.25	4	2.63	0.93	1.45	5
-	-	-	-	30.90	25	5.03	4	3.08	0.99	1.28	6
75.30	50	44.50	26	28.57	15	5.60	2	1.50	0.81	3.22	7
-	-	45.70	26	29.00	15	5.40	2	0.85	0.83	3.07	8
-	-	-	-	27.90	15	5.50	2	7.56	0.81	3.19	9
76.10	58	42.90	30	27.50	18	5.70	3	7.47	0.87	2.22	10
-	-	49.90	30	28.64	18	5.30	3	2.02	0.94	1.92	11
-	-	-	-	28.54	18	5.30	3	3.03	0.93	1.94	12
76.30	47	41.60	24	27.21	15	6.36	3	16.2	0.90	2.36	13
-	-	45.00	24	28.45	15	5.90	3	4.40	0.98	2.03	14
-	-	-	-	27.50	15	6.00	3	10.13	0.94	2.14	15
74.48	37	42.84	20	27.06	12	5.40	2	23.70	0.90	2.90	16
-	-	45.48	20	27.90	12	5.00	2	8.07	0.96	2.57	17
-	-	-	-	27.30	12	5.00	2	16.44	0.94	2.64	18

المختارة للمقارنة وهي 5 و 30 و 45 و 75 متراً. كما يتضح عموماً أن قيم RMSX في التربة المزروعة أقل مما هي عليه في التربة غير المزروعة وهذا يرجع إلى أن تمثيل هذه المعادلة يكون الأفضل بتقليل عمق الحراثة وتحت ظروف الزراعة. أن هذا التغير في قيم مسافة التقدم المحسوبة باستخدام المعادلة المذكورة والقيم الفعلية يعود إلى أن الثابت 2.602×10^{-2} تم إيجاده تحت ظروف معينة وأنه يعتمد على معامل خشونة سطح التربة، فذلك عمدنا إلى إعادة احتساب الثابت m بنلاء على العلاقة بين الزمن وقيم X الفعلية (جدول 4)، تبين النتائج فيه أن قيم هذا الثابت تتغير من 0.0300 إلى 0.0839 وأن أعلى القيم كانت في التربة غير المزروعة مقارنة مع التربة المزروعة. كما يلاحظ بأن هذه القيم تزداد عموماً بزيادة عمق الحراثة في حين تتخفف بزيادة طول اللوح الشريطي.

كذلك تبين النتائج عند تطبيق هذه المعادلة للتنبؤ في احتساب مسافة التقدم عند الأزمان المختلفة ومقارنة قيم المسافة المحسوبة مع القيم الفعلية بأن الاختلافات قليلة لكافة المسافات الفعلية المختارة (5 و 30 و 45 و 75 متراً)، إذ كانت تتراوح بين 5.45-7.40 و 25.5-28.7 و 39.13-44.16 و 66.40-73.05 متراً على التوالي. وتأكيداً على هذه النتيجة فقد كانت قيم RMSX قليلة نسبياً وإنها تتراوح بين 0.72-31.93 (جدول 4) مقارنة مع استخدام نفس المعادلة وباستخدام الثابت 2- 2.602×10^{-2} (جدول 3)، وهذا يوضح إمكانية تطبيق هذه المعادلة مع الأخذ بنظر الاعتبار قيم الثابت (m). وبذلك تصبح المعادلة كالآتي:

$$t_{ii} = mx^{1.246} Yco^{-0.746} s^{-0.262} \dots \dots \dots (3)$$

لقد تم استخدام معادلة Fok and (1965) Bishop التجريبية لوصف علاقة تقدم جبهة الماء من مصدر الإضافة مع الزمن، وحسب الثوابت لهذه المعادلة من علاقة الخط المستقيم بين لوغاريتم مسافة التقدم (X) بالمتراً ولوغاريتم الزمن (t) بالدقيقة، حيث يبين الجدول (2) هذه العلاقة ولكافة المعاملات. ومنه يلاحظ إمكانية وصف هذه العلاقة بالمعادلة المذكورة أعلاه وبقية RMSX منخفضة عموماً عدا بعض المعاملات فقد كانت مرتفعة نسبياً كمعاملة الحراثة السطحية للتربة المزروعة وبطول اللوح الشريطي 75 و 35 متراً وهذا يرجع إلى انحراف بعض القيم التجريبية إلى الأعلى أو الأسفل من منحنى المعادلة. أن انخفاض قيم RMSX يدل على تطابق البيانات التجريبية مع هذه المعادلة حيث لاحظ من جدول (2) التقارب بين قيم كل من المسافة الفعلية المختارة للمقارنة (5 و 30 و 45 و 75 متراً) والمسافة المحسوبة المكافئة لها عند نفس الزمن ولكافة المعاملات، إذ كانت تتراوح بين 50-6.36 و 27.06-30.9 و 41.6-46.1 و 74.48-76.3 متراً على التوالي.

يوضح الجدول (3) احتساب مسافة تقدم الماء (X) باستخدام معادلة Anjaneyulu et al (1973) مع معادلة Fok and Bishop (1965) التجريبية للتنبؤ في مسافة التقدم على سطح التربة. تبين النتائج عموماً أن قيمة RMSX مرتفعة جداً، حيث يلاحظ عند مقارنة القيم المحسوبة لمسافة التقدم مع القيم الفعلية وجود فروق كبيرة جداً خاصة في معاملات الحراثة العميقة وتتنخفض باتجاه معاملات الحراثة المتوسطة والسطحية في كلتا الترتيبين المزروعة وغير المزروعة ولكافة قيم X

جدول (3): مسافة التقدم الفعلية والمحسوبة (X) بتطبيق معادلة (Anjaneyulu et al (1973) $t_n = (2.602 \times 10^{-2}) X^{1.246} Y_{co}^{-0.746} S^{-0.202}$)

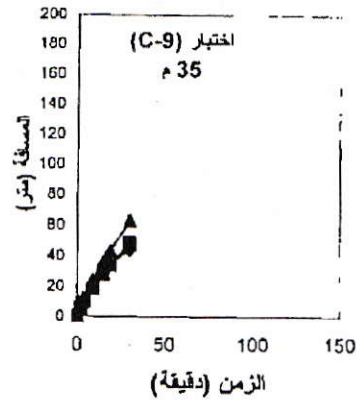
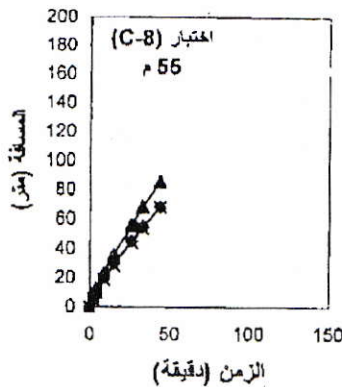
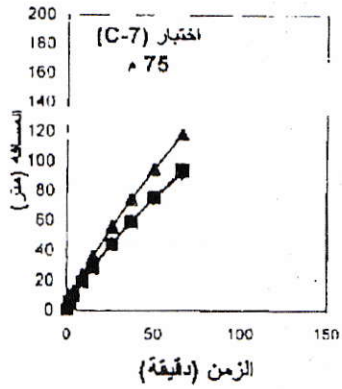
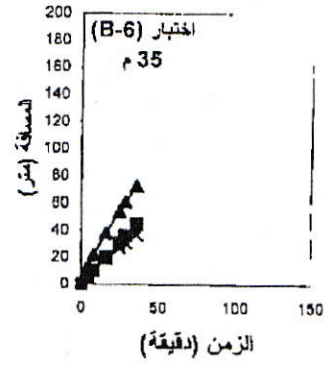
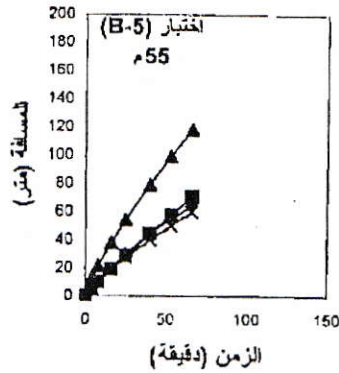
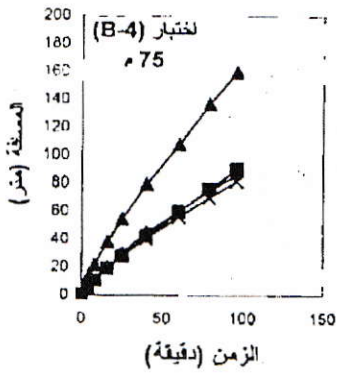
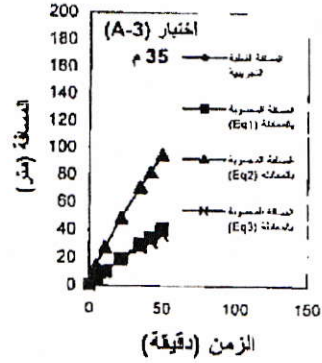
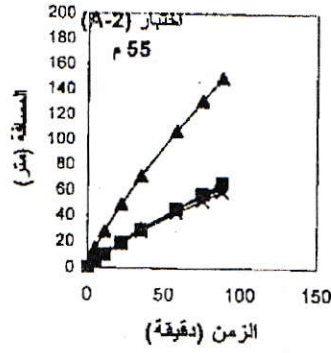
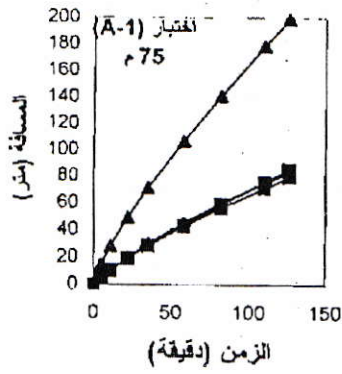
مسافة التقدم X_4		مسافة التقدم X_3		مسافة التقدم X_2		مسافة التقدم X_1		RMSX	S م/م	Y _{co} لتر/ثا/م	رقم الاختبار
مسافة التقدم المحسوبة (م)	زمن مسافة التقدم الفعلية 75م (دقيقة)	مسافة التقدم المحسوبة(م)	زمن مسافة التقدم الفعلية 45م (دقيقة)	مسافة التقدم المحسوبة(م)	زمن مسافة التقدم الفعلية 30م (دقيقة)	مسافة التقدم المحسوبة(م)	زمن مسافة التقدم الفعلية 5 م (دقيقة)				
178.47	110	106.78	58	71.20	35	14.93	5	5358.6	0.001	0.8986	1
-	-	106.78	58	71.20	35	14.93	5	3358.4	0.001	0.8986	2
-	-	-	-	71.20	35	14.93	5	1633.2	0.001	0.8986	3
136.80	79	79.24	40	54.34	25	12.48	4	2007.6	0.001	0.8986	4
-	-	79.24	40	54.34	25	12.48	4	1201.7	0.001	0.8986	5
-	-	-	-	54.34	25	12.48	4	562.0	0.001	0.8986	6
94.78	50	56.08	26	36.06	15	7.16	2	212.0	0.001	0.8986	7
-	-	56.08	26	36.06	15	7.16	2	109.7	0.001	0.8986	8
-	-	-	-	36.06	15	7.16	2	98.8	0.001	0.8986	9
106.78	58	62.90	30	41.75	18	9.91	3	550.5	0.001	0.8986	10
-	-	62.90	30	41.75	18	9.91	3	282.3	0.001	0.8986	11
-	-	-	-	41.75	18	9.91	3	169.3	0.001	0.8986	12
90.20	47	52.60	24	36.06	15	9.91	3	146.8	0.001	0.8986	13
-	-	52.60	24	36.06	15	9.91	3	58.3	0.001	0.8986	14
-	-	-	-	36.06	15	9.91	3	78.7	0.001	0.8986	15
74.44	37	45.43	20	30.15	12	7.16	2	14.8	0.001	0.8986	16
-	-	45.43	20	30.15	12	7.16	2	8.4	0.001	0.8986	17
-	-	-	-	30.15	12	7.16	2	14.7	0.001	0.8986	18

جدول (4): مسافة التقدم الفعلية والمحسوبة (X) وقيم ثوابت دالة التقدم المقدره بتطبيق معادلة (1973) Anjaneyulu et al المعدلة

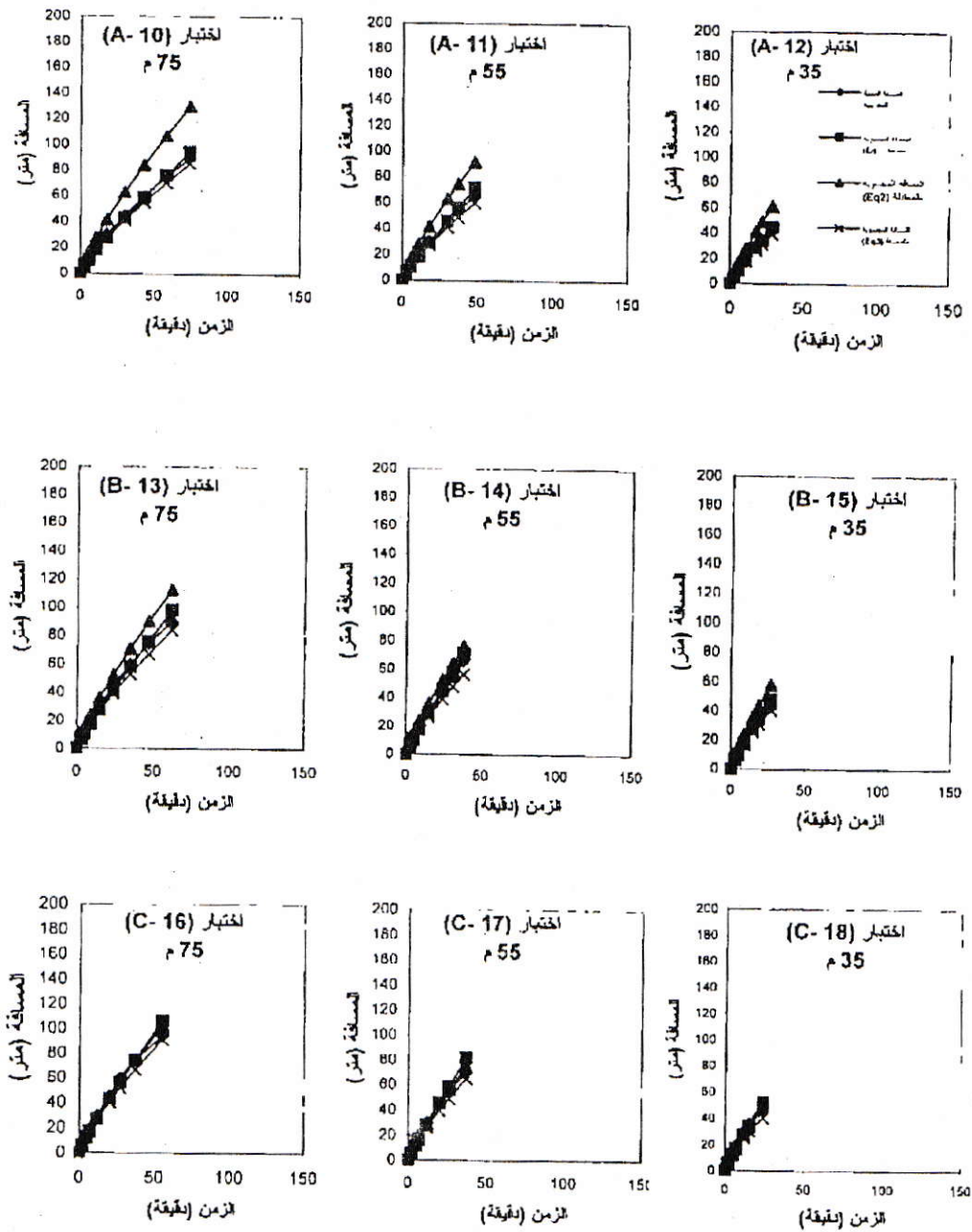
رقم الاختبار	m	Y _{co} لتر/ ثا/م	S م/م	RMSX	مسافة التقدم X ₁		مسافة التقدم X ₂		مسافة التقدم X ₃			
					مسافة التقدم الفعلية (م 5 دقيقة)	مسافة التقدم المحسوبة (م)	زمن مسافة التقدم الفعلية (30 دقيقة)	مسافة التقدم المحسوبة (م)	زمن مسافة التقدم الفعلية (45 دقيقة)	مسافة التقدم المحسوبة (م)	زمن مسافة التقدم الفعلية (75 دقيقة)	مسافة التقدم المحسوبة (م)
1	0.0821	0.8986	0.001	8.37	5	5.93	35	28.30	58	42.45	110	70.96
2	0.0832	0.8986	0.001	6.27	5	5.87	35	28.00	58	42.00	-	-
3	0.0839	0.8986	0.001	4.74	5	5.83	35	27.81	-	-	-	-
4	0.0601	0.8986	0.001	12.68	4	6.37	25	27.75	40	40.47	79	69.90
5	0.0607	0.8986	0.001	11.70	4	6.32	25	27.53	40	40.15	-	-
6	0.0612	0.8986	0.001	9.30	4	6.28	25	27.35	-	-	-	-
7	0.0348	0.8986	0.001	1.19	2	5.66	15	28.56	26	44.40	50	73.05
8	0.0346	0.8986	0.001	0.72	2	5.69	15	28.70	26	44.61	-	-
9	0.0358	0.8986	0.001	6.00	2	5.54	15	27.91	-	-	-	-
10	0.0440	0.8986	0.001	12.90	3	6.50	18	27.38	30	41.26	58	70.04
11	0.0440	0.8986	0.001	14.70	3	6.50	18	27.38	30	41.26	-	-
12	0.0454	0.8986	0.001	7.70	3	6.34	18	26.70	-	-	-	-
13	0.0374	0.8986	0.001	27.14	3	7.40	15	26.95	24	39.30	47	67.41
14	0.0376	0.8986	0.001	31.93	3	7.37	15	26.84	24	39.31	-	-
15	0.0401	0.8986	0.001	11.42	3	7.00	15	25.50	-	-	-	-
16	0.0300	0.8986	0.001	28.68	2	6.38	12	26.90	20	40.52	37	66.40
17	0.0308	0.8986	0.001	19.95	2	6.25	12	26.33	20	39.70	-	-
18	0.0320	0.8986	0.001	8.33	2	6.06	12	25.54	-	-	-	-

يرجع إلى صعوبة صعود الماء عن طريق الخاصية الشعرية من الأعماق السفلى إلى سطح التربة وتبخره مقارنة بالأعماق السطحية الذي تكون أكثر تعرضاً للمؤثرات المناخية (Staple, 1964). أن هذه النتائج تتفق مع كل من Shanholtz and Lillard (1969) والدليمي (1988) الذين لاحظوا ارتفاع رطوبة التربة بزيادة العمق. أما طبيعة التوزيع الرطوبي مع عمق تربة المزرعة قبل الري فإنها موضحة في الشكل 5B، إذ يلاحظ عموماً أن تأثير عمق الحراثة في زيادة المحتوى الرطوبي كان عالي المعنوية. وأن رطوبة التربة تتراوح بين 5.03% و 14.7% حسب معاملات الحراثة والعمق وأنها تتخفف من العمق عدا العمق السطحي 0-10 سم فقد كانت رطوبته منخفضة مقارنة مع العمق 10-20 سم وهذا يرجع إلى فقد الرطوبة من الأفق السطحي بالتبخر نتيجة لتعرضه للظروف المناخية مباشرة (Shanholtz and Lillard 1969) وكذلك Al-Najim et al (1989) تبين النتائج بأن المحتوى الرطوبي للعميقين 0-10 سم و 10-20 سم في الحراثة السطحية كان أكبر مما في معاملتي الحراثة المتوسطة والعميقة وذلك لزيادة المساحة السطحية فيهما والتي تتعرض لأشعة الشمس وحركة الرياح، فضلاً عن زيادة نسبة المسامات الكبيرة القابلة للبلل والتي تفقد رطوبتها عند التغيير القليل بالشد الرطوبي خاصة عند مستويات الشد الواطئة (Bhushan et al, 1973) في حين كان ذلك متعكساً عند الأعماق التحتينية فأن المحتوى الرطوبي يزداد بزيادة عمق الحراثة.

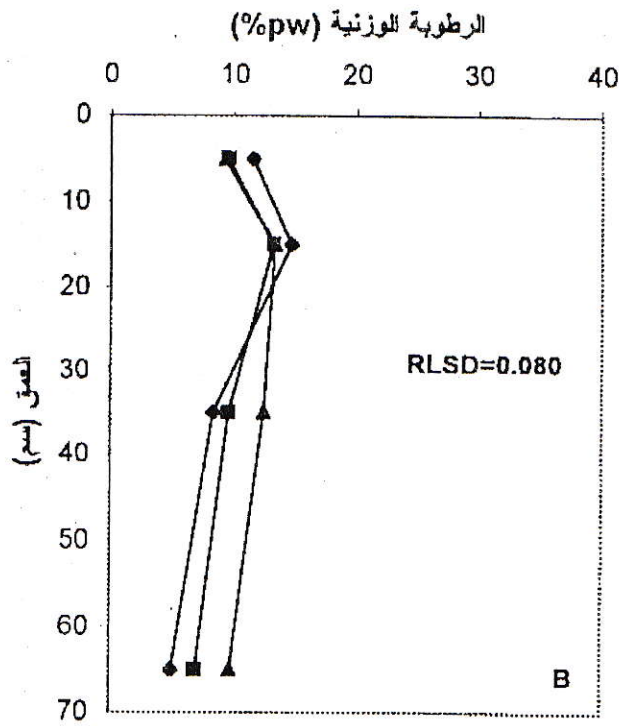
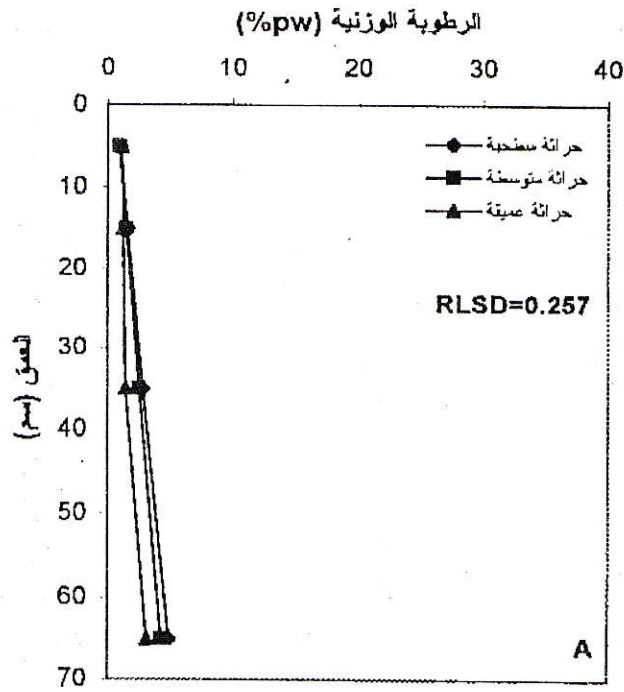
يوضح الشكلان (3) و(4) مقارنة منحنيات التقدم الفعلية والمحسوبة للماء على سطح التربة المزرعة وغير المزرعة وللختبارات 1-18 وبيان إمكانية أفضل المعادلات للتطبيق. تبين النتائج الموضحة في الشكلين (5A) و(5B) التغيير في قيم المحتوى الرطوبي الوزني لمعاملات الحراثة مع العمق قبل ري للتربة المزرعة وغير المزرعة، ويتبين من التحليل الإحصائي بأن هذا التغيير كان عالي المعنوية لكل منهما بقيمة أقل معدل فرق معنوي مقدارها 0.257 و 0.080 على التوالي، إذ يلاحظ أن زيادة عمق الحراثة في التربة المزرعة أدت إلى خفض نسبة رطوبة التربة (شكل 5A) فقد كانت كمعدل عام لمعاملات الحراثة السطحية والمتوسطة والعميقة بغض النظر عن التغيير مع العمق 2.56، 2.29، 1.72% على التوالي. أن سبب انخفاض هذه القيم يعود إلى أن الحراثة تساهم في زيادة المساحة السطحية للتربة المعرضة لأشعة الشمس المباشرة وحركة الرياح وذلك بتكوين الكتل الترابية وإثارة التربة، لذلك يزداد التبخر من السطح مما يؤثر على كمية الرطوبة المتبقية في التربة. كما أن اختلاف عمق الحراثة يؤثر في الكثافة الظاهرية والتوزيع الحجمي لمسامات التربة التي تحتفظ بالرطوبة (الطحان والنعمة، 1988). أن هذا التغيير في قيم الرطوبة يكون أكثر وضوحاً وبفروق عالية المعنوية عند مقارنة الأعماق المتناظرة ضمن معاملات الحراثة. كما يتضح من النتائج بأن رطوبة التربة تزداد معنوياً على مستوى 1% مع العمق لجميع معاملات الحراثة بقيمة أقل فرق معنوي معدل 0.148 و 1.084 على التوالي. إن سبب تزايد الرطوبة مع العمق



شكل (3): مقارنة لمنحنيات التقدم الفعلية والمحسوبة لمعاملات الحرارة العميقة (A) والمتوسطة (B) والسطحية (C) تحت أطوال اللوح الشريطي 75 م و 55 م و 35 م للتربة غير المزروعة



شكل (4): مقارنة لمنحنيات التقدم الفعلية والمحسوبة لمعاملات الحراثة العميقة (A) والمتوسطة (B) والسطحية (C) عند اطوال اللوح الشريطي 75 م و 55 م و 35 م للتربة المزروعة.



شكل (5): التوزيع الرطوبي الوزني مع العمق لمعاملات الحرارة قبل الري للتربة غير المزروعة (A) والمزروعة (B)

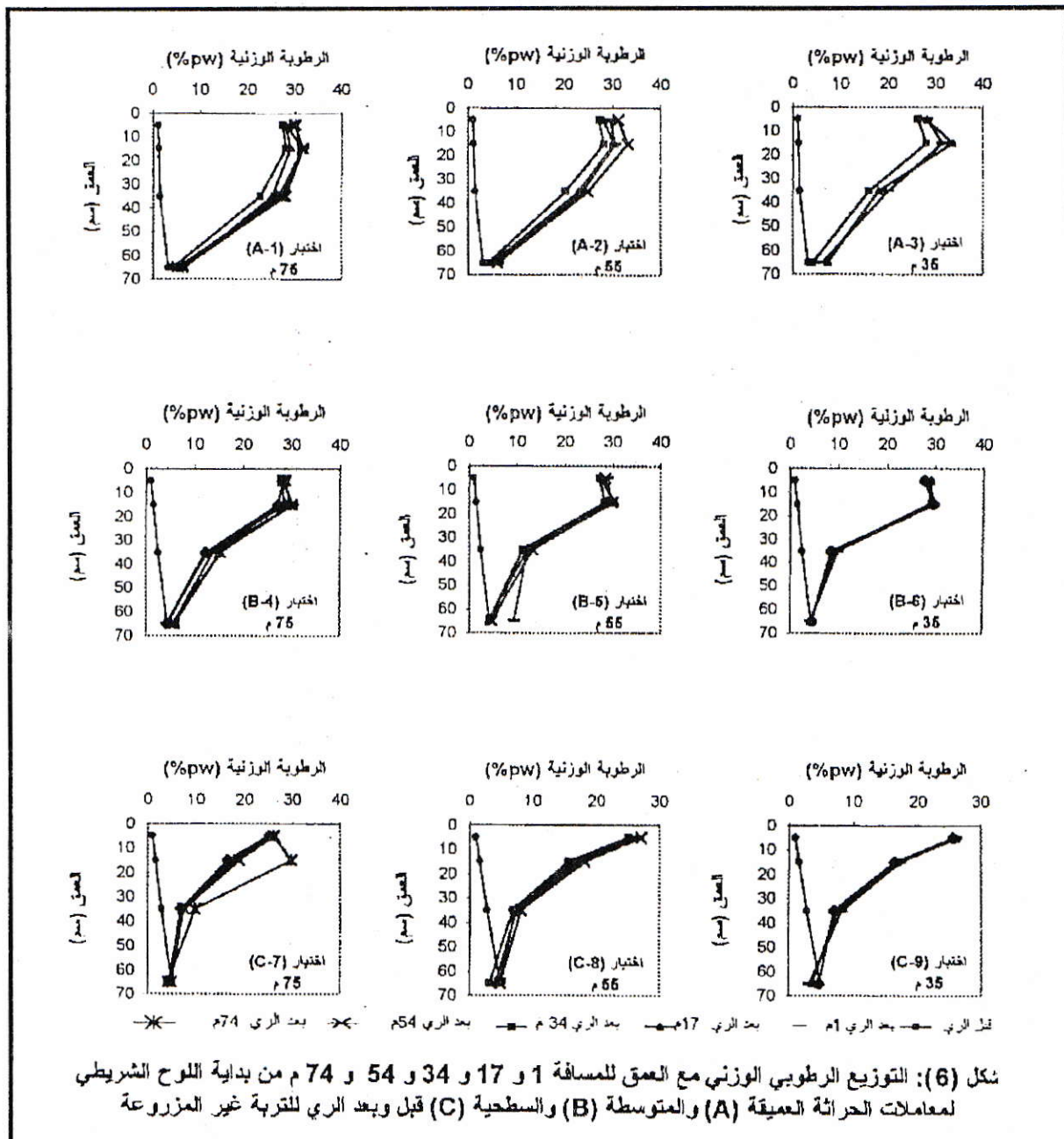
قيم رطوبة التربة 17.38 و 17.7 و 18.69 و 17.25% لمواقع 1 و 17 و 34 و 54 و 74 متراً من بداية اللوح الشريطي وعلى التوالي. أن هذه النتيجة تتوافق مع منحنيات التقدم والانحسار إذ أن فترة بقاء الماء على سطح التربة للمواقع في بداية اللوح الشريطي اكبر مما في المواقع الأخيرة (الشكلين 1 و 2). وتتطابق هذه النتيجة مع ما وجدته الحديثي (1983) الذي بين بأن عمق الماء المخزون عند الموقع 80 متراً اقل مما هو عليه في المواقع 5 و 20 متراً من بداية اللوح الشريطي. يوضح الشكل (7) التوزيع الرطوبي مع العمق بعد الري ومقارنته مع قبل الري للتربة المزروعة بمحصول الشعير، إذ يتضح عموماً بأن قيم رطوبة التربة الوزنية لجميع المعاملات لتربة المزروعة كانت اكبر مما في التربة غير المزروعة، حيث أن الزراعة تؤدي إلى ارتفاع نسبة المادة العضوية ومعدل القطر الموزون وبالتالي ارتفاع قابلية التربة لاحتفاظ بالرطوبة نتيجة لانتظام مديات التوزيع الحجمي لمسامات التربة وزيادة السعة التخزينية للماء الجاهز فيها (Hillel, 1980) ومن التحليل الإحصائي يتبين بأن زيادة عمق الحراثة كان ذي تأثير إيجابي في زيادة محتوى الرطوبة للتربة وكافة المعاملات بفروق عالية المعنوية بقيمة اقل فرق معنوي معدل مقدارها 0.193، فقد ارتفع كمعدل عام من 16.21% لمعاملة الحراثة السطحية إلى 19.64% و 22.25% لمعاملات الحراثة المتوسطة والعميقة على التوالي، بزيادة مقدارها 6.29% و 9.81% و 11.31% مقارنة مع قيم المحتوى الرطوبي قبل الري. أن هذا التغير في قيم المحتوى الرطوبي كان اكثر وضوحاً في الأعماق السطحية ويقل عند الأعماق التحتية. تتفق هذه النتيجة مع ما ذكره (Slanti, 1966) إذ وجد بأن التربة ذات الغيض العالي تكون ذات خزن عالي للماء. ومن جانب آخر فقد أشار (Moldehauer and long, 1964) إلى أن زيادة غيض الماء في التربة يقلل من الجريان

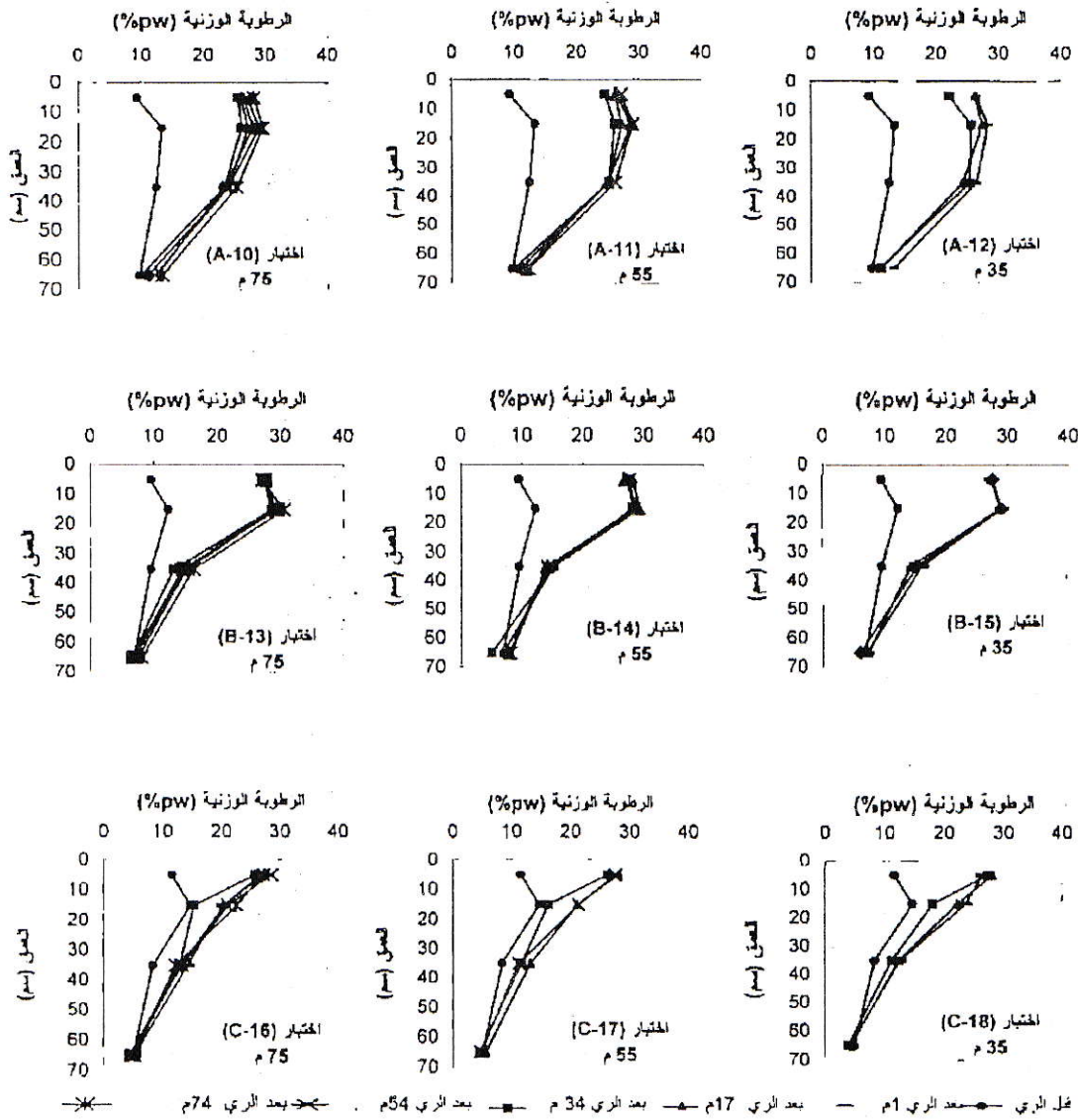
يتبين من الشكلين (6) و (7) التوزيع الرطوبي الوزني للتربة مع العمق بعد الري ومقارنته قبل الري للتربة غير المزروعة، إذ يتضح عموماً ولجميع المعاملات أن أعلى محتوى رطوبي كان عند الأعماق السطحية وينخفض مع العمق، وأن التغير في هذه القيم حسب الأعماق يعتمد على عمق الحراثة، حيث أن زيادة عمق الحراثة له تأثير كبير في زيادة المحتوى الرطوبي الوزني للتربة غير المزروعة (الشكل 6)، لقد ارتفع المستوى الرطوبي كمعدل عام من 13.70% لمعاملات الحراثة السطحية إلى 18.47% و 21.77% لمعاملتي الحراثة المتوسطة والعميقة وبفروق عالية المعنوية بقيمة اقل فرق معنوي كمعدل مقداره 0.825 وبزيادة مقدارها 11.14 و 16.18 و 20.05% مقارنة مع قيم الرطوبة قبل الري وعلى التوالي. وتعزى هذه الزيادة إلى الانخفاض في قيم الكثافة الظاهرية للأعماق المتأثرة بالحراثة وبالتالي زيادة مسامية التربة ونسبة المسامات الكبيرة التي يمكن أن تحتفظ بالرطوبة خاصة بعد الري مباشرة (Ram and Honan, 1973 و Dongale, 1987).

أما مقارنة طبيعة التوزيع الرطوبي تحت معاملات أطوال اللوح الشريطي فيلاحظ عموماً (بغض النظر عن تأثير العوامل الأخرى) بأن المحتوى الرطوبي الوزني يزداد بشكل عالي المعنوية بزيادة طول اللوح الشريطي فقد كانت قيمته كمعدل عام لمعاملة طول اللوح الشريطي 35 متراً هي 17.32% وترتفع إلى 18.06% و 18.58% لمعاملتي طول اللوح الشريطي 55 متراً و 75 متراً وعلى التوالي. أن سبب ارتفاع قيم الرطوبة بزيادة طول اللوح الشريطي يرجع إلى زيادة زمن إضافة الماء إلى اللوح الشريطي وبالتالي حصوله على قدر اكبر من المياه (الحديثي 1983). أما تغير المحتوى الرطوبي تبعاً للمواقع على امتداد اللوح الشريطي، فقد لوحظ انخفاض قيم الرطوبة مع الابتعاد عن بداية اللوح الشريطي. فعلى سبيل المثال كان معدل

27.05 و 25.76 و 19.58 و 8.00% لطول اللوح الشريطي 75 متراً وانخفضت إلى 27.04 و 25.59 و 17.38 و 7.8% لطول اللوح الشريطي 55 متراً و 26.52 و 25.80 و 17.55 و 7.67% لطول اللوح الشريطي 35 متراً ولنفس الأعماق على التوالي.

السطحي لماء ويزيد نفوذته. أما تغاير المحتوى الرطوبي تبعاً لطول اللوح الشريطي وفي المواقع المختلفة فقد لوحظ عدم وجود اختلافات معنوية في حين كان التداخل في طول اللوح الشريطي والعمق عالي المعنوية بقيمة أقل فرق معنوي معدل مقداره 3.39 . فعند مقارنة قيم الرطوبة عند الأعماق 0-10 و 10-20 و 20-30 و 30-40 و 40-50 و 50-60 و 60-70 سم فكانت





شكل (7): التوزيع الرطوبي الوزني مع العمق للمسافة 1 و 17 و 34 و 54 و 74 م من بداية اللوح الشريطي لمعاملات الحراثة العميقة (A) والمتوسطة (B) والسطحية (C) قبل وبعد الري للتربة المزروعة

المصادر

1. الدليمي، حامد عجيل حبيب (1988). تأثير الحرارة والزراعة على غيض الماء في التربة وبعض الصفات الفيزيائية وحاصل الذرة الصفراء. رسالة ماجستير، كلية الزراعة، جامعة بغداد. العراق.
2. الحديثي، عصام خضير حمزة (1983). الري الشريطي دراسة حقلية لبعض مظاهره وتقييمها. رسالة ماجستير، كلية الزراعة، جامعة بغداد. العراق.
3. الحديثي، عصام خضير ونبيل إبراهيم الطيف (1986). التتبؤ بتقديم جبهة الماء في الري الشريطي. المجلة العراقية للعلوم الزراعية (زانكو). مجلد 5. العدد 4. ص: 45-56.
4. الطحان، ياسين هاشم ومحمد النعمة (1988). المكنائن والآلات الزراعية. مديرية دار الكتب للطباعة والنشر، جامعة الموصل. العراق.
5. Al- Najim, M. A.; M. M. AL-Shakarchi; D. R. Nedawi and A. A. AL-Raslani. (1989). The effect of wheel slip on soil compaction and determination of optimum moisture content in heavy clayey soil. Basrah J. Agric. Sci.. 2.(1,2): 133-143.
6. Anjaneyulu, B.; A. P. Mishra and G. Sastry (1973). Water advance phenomenon in irrigation border. J. Center Board Irrigation Pow, 30 (2): 167-170.
7. Anyoji, H. and A. Tada. (1995). Relationship between length of baddy field and inlet flow rate. Trans. ASAE. 179: 57-68.
8. Bhushan, L. S.; S. B. Varade and G. P. Gupta. (1973). Influence of tillage practices on clod size porosity and water retention. Indian J. Agric. Sci. 43 (5): 466-471.
9. Chen, C. L. (1965). Techniques of border irrigation by hydrologic method of routing report PRWRLL-1, Utah Water Research Laboratory, Utah State University, Logan, Utah.
10. Christiansen, J. E.; A. A. Bishop; F. W. Kiefer and Y. S. Fok. (1966). Evaluation of intake rate constant as related to advance of water in surface irrigation. Trans. ASAE. 9 (5): 671-674.
11. Dongle, J. H. (1987). Effect of cropping system and tillage on infiltration characteristic of medium black soil of Konkan. J. Maharashtra. Agric. Univ. 12 (1): 9-11.
12. Finkel, H. J. and D. Nir. (1960). Determining infiltration rates in irrigation border. Geophysics research. 65: 2125-2131.

20. Shanholtz, V. O. and J. H Lillard. (1969). Tillage system effects on water use efficiency. J of Soil and Water Conservation. 24: 186-187.
21. Shukla, A. K. (1990). Effect of border length and inflow on water application and distribution efficiencies in border-strip irrigation. Irrig. Sci. 7: 142-149.
22. Salti, A (1996). Generation and evaluation of alternative to improve water use in the almudevar irrigation district Spain. Agron. J. PP: 132-139.
23. Stamm, G. G. (1967). Problems and procedure in determining water supply requirement for irrigation projects. In Hagan, R. M. (ed). (1967). Irrigation of Agricultural Land. Amer. Soc. Agro. Mono. 11, madison, wisconsin. Pp: 771-785.
24. Staple. W. J. (1964). Dry land agriculture and water conservation. Soil Sci. Soc. Am. Proc: 15-30.
25. Strelkoff, T. (1977). Algebraic computation of flow in border irrigation. J. irrig. Drain. Div., ASCE. 103 (IR3): 357-377.
13. Fok, Y. S and A. A. Bishop. (1965) Analysis of water advance in surface irrigation. J. Irrig. Drain. Div. ASCE. 91: 99-116.
14. Hillel, D. (1980). Fundamentals of soil physics. Academic press, Inc. New York.
15. Katyal, A. K. and J. W. Kijne. (1980). Prediction of advancing wetting front in border-strip irrigation. Irrig. Sci. 1: 177-184.
16. Maheshwari, B. L. and P. M. patto (1990). Present status of border irrigation design in Australia. Aust. Agric. Eng. 19 (2): 8-10.
17. Moldenbaure, W. C. and D. C. long (1964). Influence of rainfall energy on soil loss and influence of rainfall energy on soil loss and infiltration rates. 1. Effect over a range to texture. Soil sci. soc. Am. Proc. 28: 813-817.
18. Ram, R. S and K. G. Honan. (1973). Notes on the effect of deep ploughing and contour riding on moisture conservation in arid tracts J. of Agric. Sci. 43 (2): 207-208.
19. Schwab, G. O. (1966). Soil and water conservation engineering. (2nd ed). John. Wiley and Sons. Inc. New York.